

$^{160}\text{Gd}(^{36}\text{S},4n\gamma)$  1996Wi09,1995Le33,1994Le08

Type	Author	History Citation	Literature Cutoff Date
Full Evaluation	Coral M. Baglin	NDS 113, 1871 (2012)	15-Jun-2012

For SD band information from the  $^{160}\text{Gd}(^{36}\text{S},4n\gamma)$  reaction, please see the (HI,xn $\gamma$ ):SD data set.

1996Wi09: E( $^{36}\text{S}$ )=159 MeV, 98%  $^{160}\text{Gd}$  self-supporting target, Au stopper foil, same  $\gamma$  detectors as 1995Le33; measured  $T_{1/2}$  using Doppler-shift recoil distance method.

1995Le33,1994Le08: E( $^{36}\text{S}$ )=159 MeV, Au-backed target enriched in  $^{160}\text{Gd}$ , 43 Compton-suppressed Ge detectors (EUROGAM phase-1 array),  $\theta=158^\circ, 134^\circ, 108^\circ, 94^\circ, 86^\circ, 72^\circ$ ; measured  $E\gamma, \gamma(\theta)$ , five-fold  $\gamma$  coin.

 $^{192}\text{Hg}$  Levels

The level scheme is that of 1995Le33. It differs from that of 1994Le08 primarily due to the addition of the 4234 level and the removal of an 823 $\gamma$  from the  $\gamma$  cascade within band ABCD.

E(level) <sup>†</sup>	J <sup>π‡</sup>	E(level) <sup>†</sup>	J <sup>π‡</sup>	<u>T<sub>1/2</sub><sup>#</sup></u>
0 <sup>&amp;</sup>	0 <sup>+</sup>	4951.5 <sup>e</sup> 24	20 <sup>-</sup>	
422.9 <sup>&amp;</sup> 10	2 <sup>+</sup>	5022.4 <sup>h</sup> 24	19 <sup>-</sup>	
1057.9 <sup>&amp;</sup> 15	4 <sup>+</sup>	5131 <sup>g</sup> 3	20 <sup>+</sup>	
1803.6 <sup>&amp;</sup> 17	6 <sup>+</sup>	5217.0 <sup>f</sup> 24	21 <sup>-</sup>	
1844.2 <sup>a</sup> 17	5 <sup>-</sup>	5272 <sup>c</sup> 3	20 <sup>+</sup>	
1977.4 <sup>a</sup> 17	7 <sup>-</sup>	5316.6 <sup>d</sup> 25	20 <sup>+</sup>	
1987 <sup>b</sup>	(6 <sup>-</sup> )	5544.5 <sup>h</sup> 24	21 <sup>-</sup>	
2216.8 <sup>b</sup> 19	8 <sup>-</sup>	5587 3	(20 <sup>+</sup> )	
2224.1 <sup>a</sup> 19	9 <sup>-</sup>	5656.8 <sup>e</sup> 25	22 <sup>-</sup>	
2447.5 <sup>&amp;</sup> 18	8 <sup>+</sup>	5701 <sup>g</sup> 3	22 <sup>+</sup>	
2507.9 <sup>d</sup> 21	10 <sup>+</sup>	5788 <sup>d</sup> 3	22 <sup>+</sup>	
2535.8 <sup>c</sup> 23	12 <sup>+</sup>	6013.0 <sup>f</sup> 25	23 <sup>-</sup>	
2633.1 <sup>b</sup> 20	10 <sup>-</sup>	6113 <sup>c</sup> 3	(22 <sup>+</sup> )	
2757.1 <sup>a</sup> 21	11 <sup>-</sup>	6126.6 <sup>h</sup> 25	23 <sup>-</sup>	
2903.2 23	10 <sup>+</sup>	6234 3	22 <sup>+</sup>	
2951.5 <sup>c</sup> 22	14 <sup>+</sup>	6295 3	(22 <sup>+</sup> )	
3047.5 <sup>d</sup> 22	12 <sup>+</sup>	6303 <sup>i</sup> 3	(22 <sup>+</sup> )	
3262.3 <sup>b</sup> 21	12 <sup>-</sup>	6428 <sup>g</sup> 3	24 <sup>+</sup>	
3450.0 <sup>a</sup> 22	13 <sup>-</sup>	6433 <sup>i</sup> 3	(23 <sup>+</sup> )	10.3 ps +35-27
3608.6 <sup>c</sup> 23	16 <sup>+</sup>	6439 <sup>e</sup> 3	24 <sup>-</sup>	
3670.1 <sup>d</sup> 23	14 <sup>+</sup>	6709 <sup>i</sup> 3	(24 <sup>+</sup> )	14 ps +3-4
3726.3 23	14 <sup>+</sup>	6857 <sup>f</sup> 3	25 <sup>-</sup>	
3895.6 <sup>e</sup> 22	14 <sup>-</sup>	6880 <sup>j</sup> 3	23 <sup>(-)</sup>	
3985.3 <sup>b</sup> 22	14 <sup>-</sup>	6950 <sup>h</sup> 3	25 <sup>-</sup>	
4011.3 <sup>f</sup> 22	15 <sup>-</sup>	7036 <sup>j</sup> 3	24 <sup>(-)</sup>	
4090.4 <sup>e</sup> 22	16 <sup>-</sup>	7043 <sup>i</sup> 3	(25 <sup>+</sup> )	0.7 <sup>@</sup> ps +7-11
4130.6 <sup>d</sup> 23	16 <sup>+</sup>	7269 <sup>e</sup> 3	26 <sup>-</sup>	
4217.3 <sup>f</sup> 22	17 <sup>-</sup>	7273.6 <sup>j</sup> 25	25 <sup>(-)</sup>	
4388.4 <sup>e</sup> 23	18 <sup>-</sup>	7320 <sup>g</sup> 3	26 <sup>+</sup>	
4389.8 <sup>c</sup> 25	18 <sup>+</sup>	7435 <sup>i</sup> 3	(26 <sup>+</sup> )	2.5 ps +13-7
4520.4 <sup>h</sup> 24	17 <sup>-</sup>	7517 <sup>j</sup> 3	26 <sup>(-)</sup>	
4589.3 <sup>f</sup> 23	19 <sup>-</sup>	7686 3		
4741.4 <sup>d</sup> 25	18 <sup>+</sup>	7724 <sup>f</sup> 3	27 <sup>-</sup>	

Continued on next page (footnotes at end of table)

<sup>160</sup>Gd(<sup>36</sup>S,4n $\gamma$ ) [1996Wi09](#),[1995Le33](#),[1994Le08](#) (continued)

<sup>192</sup>Hg Levels (continued)

E(level) <sup>†</sup>	J $\pi$ <sup>‡</sup>	T <sub>1/2</sub> <sup>#</sup>	E(level) <sup>†</sup>	J $\pi$ <sup>‡</sup>	T <sub>1/2</sub> <sup>#</sup>
7789.0 <sup>j</sup> 25	27 <sup>(-)</sup>		8633 <sup>f</sup> 3	29 <sup>-</sup>	
7821 <sup>h</sup> 3	27 <sup>-</sup>		8695 3	29 <sup>-</sup>	
7840 3			8713 <sup>i</sup> 3	(29 <sup>+</sup> )	0.14 ps +49-14
7928 <sup>j</sup> 3	28 <sup>(-)</sup>		8961 <sup>i</sup> 3	(30 <sup>+</sup> )	0.9 ps 4
7959 <sup>i</sup> 3	(27 <sup>+</sup> )	1.2 ps 10	8991 <sup>j</sup> 3	31 <sup>(-)</sup>	
8181 3	(28 <sup>+</sup> )		9196 <sup>i</sup> 3	(31 <sup>+</sup> )	2.4 ps +4-3
8196 <sup>e</sup> 3	28 <sup>-</sup>		9376 <sup>i</sup> 3	(32 <sup>+</sup> )	1.5 ps 3
8209 3	28 <sup>-</sup>		9445 <sup>j</sup> 3	32 <sup>(-)</sup>	
8226 3	28 <sup>-</sup>		9666 <sup>i</sup> 3	(33 <sup>+</sup> )	
8265 <sup>j</sup> 3	29 <sup>(-)</sup>		9934 <sup>j</sup> 3	33 <sup>(-)</sup>	
8303 <sup>i</sup> 3	(28 <sup>+</sup> )	0.5 ps 5	10038 <sup>i</sup> 4	(34 <sup>+</sup> )	
8331 <sup>g</sup> 3	28 <sup>+</sup>		10466 <sup>j</sup> 3	34 <sup>(-)</sup>	
8544 <sup>j</sup> 3	30 <sup>(-)</sup>				

<sup>†</sup> From least-squares fit to E $\gamma$  allowing 1 keV uncertainty in all E $\gamma$  data.

<sup>‡</sup> From [1995Le33](#), based on authors' measured (but untabulated)  $\gamma(\theta)$  data and on deduced band structure.

<sup>#</sup> From Doppler-shift recoil distance ([1996Wi09](#)).

@ This value appears to have been misprinted.

& Band(A): g.s. band.

<sup>a</sup> Band(B): band AE. Configuration=(( $\nu$  i<sub>13/2</sub>)( $\nu$  p<sub>3/2</sub>)).

<sup>b</sup> Band(C): band AF. Configuration=(( $\nu$  i<sub>13/2</sub>)( $\nu$  p<sub>3/2</sub>)).

<sup>c</sup> Band(D): band AB. Configuration=( $\nu$  i<sub>13/2</sub>)<sup>2</sup>.

<sup>d</sup> Band(E):  $\pi=+$ ,  $\alpha=0$  band.

<sup>e</sup> Band(F): band ABCF. Configuration=(( $\nu$  i<sub>13/2</sub>)<sup>3</sup>( $\nu$  p<sub>3/2</sub>)).

<sup>f</sup> Band(G): band ABCE. Configuration=(( $\nu$  i<sub>13/2</sub>)<sup>3</sup>( $\nu$  p<sub>3/2</sub>)).

<sup>g</sup> Band(H): band ABCD. Configuration=( $\nu$  i<sub>13/2</sub>)<sup>4</sup>.

<sup>h</sup> Band(I): band ABDE. Possibly (( $\nu$  i<sub>13/2</sub>)<sup>3</sup>( $\nu$  p<sub>3/2</sub>)).

<sup>i</sup> Band(J):  $\pi=(+)$  dipole band. Possibly (( $\pi$  h<sub>9/2</sub>)<sup>2</sup>)K=8 coupled with (( $\nu$  i<sub>13/2</sub>)<sup>4</sup>) or with ((( $\nu$  i<sub>13/2</sub>)<sup>2</sup>)( $\pi$  h<sub>11/2</sub>)<sup>2</sup>).

<sup>j</sup> Band(K):  $\pi=(-)$  dipole band. Possibly (( $\pi$  h<sub>11/2</sub>)( $\pi$  i<sub>13/2</sub>))K=11 coupled with (( $\nu$  i<sub>13/2</sub>)<sup>4</sup>) or with ((( $\nu$  i<sub>13/2</sub>)<sup>2</sup>)( $\pi$  h<sub>11/2</sub>)<sup>2</sup>).

$\gamma(^{192}\text{Hg})$

$\gamma(\theta)$  was measured by [1995Le33](#) and [1994Le08](#); the results of these measurements are not enumerated by the authors, but fig. 1 of [1994Le08](#) shows a plot of I $\gamma$ (158°)/I $\gamma$ (86°) for many transitions.

E $\gamma$ <sup>†</sup>	E <sub>i</sub> (level)	J $\pi$ <sub>i</sub>	E <sub>f</sub>	J $\pi$ <sub>f</sub>	Mult. <sup>#</sup>	$\alpha^a$	I <sub>(<math>\gamma+ce</math>)</sub> <sup>‡</sup>	Comments
88	7928	28 <sup>(-)</sup>	7840					
103	7789.0	27 <sup>(-)</sup>	7686					Mult.: I $\gamma$ (158°)/I $\gamma$ (86°)=0.9 3 ( <a href="#">1994Le08</a> ).
105	4090.4	16 <sup>-</sup>	3985.3	14 <sup>-</sup>				
107	7928	28 <sup>(-)</sup>	7821	27 <sup>-</sup>	D			Mult.: I $\gamma$ (158°)/I $\gamma$ (86°)=0.57 16 ( <a href="#">1994Le08</a> ).
127	4217.3	17 <sup>-</sup>	4090.4	16 <sup>-</sup>	D			Mult.: I $\gamma$ (158°)/I $\gamma$ (86°)=0.58 15 ( <a href="#">1994Le08</a> ) for 127 $\gamma$ and/or 129.8 $\gamma$ .
129.8&	6433	(23 <sup>+</sup> )	6303	(22 <sup>+</sup> )	(M1)	3.75	18.9	Mult.: I $\gamma$ (158°)/I $\gamma$ (86°)=0.58 15 ( <a href="#">1994Le08</a> ) for 127 $\gamma$ and/or 129.8 $\gamma$ .
133	1977.4	7 <sup>-</sup>	1844.2	5 <sup>-</sup>				
138	6433	(23 <sup>+</sup> )	6295	(22 <sup>+</sup> )				Mult.: I $\gamma$ (158°)/I $\gamma$ (86°)=0.82 20 ( <a href="#">1994Le08</a> ) for 138 $\gamma$ and/or 139 $\gamma$ .

Continued on next page (footnotes at end of table)

$^{160}\text{Gd}(^{36}\text{S},4n\gamma)$  **1996Wi09,1995Le33,1994Le08 (continued)** $\gamma(^{192}\text{Hg})$  (continued)

$E_\gamma$ †	$E_i$ (level)	$J_i^\pi$	$E_f$	$J_f^\pi$	Mult. #	$\alpha^a$	$I_{(\gamma+ce)}^\ddagger$	Comments
139	7928	28 <sup>(-)</sup>	7789.0	27 <sup>(-)</sup>				Mult.: $I_\gamma(158^\circ)/I_\gamma(86^\circ)=0.82$ 20 (1994Le08) for 138 $\gamma$ and/or 139 $\gamma$ .
143 <sup>b</sup>	1987?	(6 <sup>-</sup> )	1844.2	5 <sup>-</sup>	(M1)	2.84		$E_\gamma$ : erroneously shown as $E_\gamma=343$ in both 1994Le08 and 1995Le33; level energy difference is 143 keV.
144	3047.5	12 <sup>+</sup>	2903.2	10 <sup>+</sup>				Mult.: $I_\gamma(158^\circ)/I_\gamma(86^\circ)=0.66$ 14 (1994Le08).
157	7036	24 <sup>(-)</sup>	6880	23 <sup>(-)</sup>	(M1)	2.18		Mult.: $I_\gamma(158^\circ)/I_\gamma(86^\circ)=1.85$ 23 (1994Le08).
174	1977.4	7 <sup>-</sup>	1803.6	6 <sup>+</sup>				Mult.: $I_\gamma(158^\circ)/I_\gamma(86^\circ)=0.90$ 17 (1994Le08).
179.8&	9376	(32 <sup>+</sup> )	9196	(31 <sup>+</sup> )	(M1)	1.489	13.3	Mult.: $I_\gamma(158^\circ)/I_\gamma(86^\circ)=0.64$ 14 (1994Le08).
195	4090.4	16 <sup>-</sup>	3895.6	14 <sup>-</sup>				
201	4589.3	19 <sup>-</sup>	4388.4	18 <sup>-</sup>				
206	4217.3	17 <sup>-</sup>	4011.3	15 <sup>-</sup>				
222	8181	(28 <sup>+</sup> )	7959	(27 <sup>+</sup> )				
234.8&	9196	(31 <sup>+</sup> )	8961	(30 <sup>+</sup> )	(M1)	0.707	14.8	Mult.: $I_\gamma(158^\circ)/I_\gamma(86^\circ)=0.58$ 14 (1994Le08).
237	7273.6	25 <sup>(-)</sup>	7036	24 <sup>(-)</sup>				Mult.: $I_\gamma(158^\circ)/I_\gamma(86^\circ)=0.50$ 14 (1994Le08) for 237 $\gamma$ and/or 239 $\gamma$ .
239	2216.8	8 <sup>-</sup>	1977.4	7 <sup>-</sup>				Mult.: $I_\gamma(158^\circ)/I_\gamma(86^\circ)=0.66$ 14 (1994Le08).
244	7517	26 <sup>(-)</sup>	7273.6	25 <sup>(-)</sup>	(M1)	0.636		Mult.: $I_\gamma(158^\circ)/I_\gamma(86^\circ)=0.56$ 14 (1994Le08).
247	2224.1	9 <sup>-</sup>	1977.4	7 <sup>-</sup>				
248.1&	8961	(30 <sup>+</sup> )	8713	(29 <sup>+</sup> )	[M1]	0.607	8.6	
270	5587	(20 <sup>+</sup> )	5316.6	20 <sup>+</sup>				
272	7789.0	27 <sup>(-)</sup>	7517	26 <sup>(-)</sup>	(M1)	0.472		Mult.: $I_\gamma(158^\circ)/I_\gamma(86^\circ)=0.47$ 14 (1994Le08).
276.3&	6709	(24 <sup>+</sup> )	6433	(23 <sup>+</sup> )	(M1)	0.452	17.5	Mult.: $I_\gamma(158^\circ)/I_\gamma(86^\circ)=0.27$ 10 (1994Le08).
280	8544	30 <sup>(-)</sup>	8265	29 <sup>(-)</sup>	(M1)	0.436		Mult.: $I_\gamma(158^\circ)/I_\gamma(86^\circ)=0.53$ 14 (1994Le08).
284	2507.9	10 <sup>+</sup>	2224.1	9 <sup>-</sup>	D			Mult.: $I_\gamma(158^\circ)/I_\gamma(86^\circ)=0.71$ 11 (1994Le08).
290	9666	(33 <sup>+</sup> )	9376	(32 <sup>+</sup> )	(M1)	0.396		Mult.: $I_\gamma(158^\circ)/I_\gamma(86^\circ)=0.59$ 14 (1994Le08).
298	4388.4	18 <sup>-</sup>	4090.4	16 <sup>-</sup>				
303	4520.4	17 <sup>-</sup>	4217.3	17 <sup>-</sup>				Mult.: $I_\gamma(158^\circ)/I_\gamma(86^\circ)=0.81$ 26 (1994Le08) for 303 $\gamma$ and/or 304 $\gamma$ .
304	7821	27 <sup>-</sup>	7517	26 <sup>(-)</sup>				Mult.: $I_\gamma(158^\circ)/I_\gamma(86^\circ)=0.81$ 26 (1994Le08) for 303 $\gamma$ and/or 304 $\gamma$ .
333.6&	7043	(25 <sup>+</sup> )	6709	(24 <sup>+</sup> )	(M1)	0.270	11.5	Mult.: $I_\gamma(158^\circ)/I_\gamma(86^\circ)=0.18$ 15 (1994Le08).
337	8265	29 <sup>(-)</sup>	7928	28 <sup>(-)</sup>				
343.4&	8303	(28 <sup>+</sup> )	7959	(27 <sup>+</sup> )	(M1)	0.250	3.7	Mult.: $I_\gamma(158^\circ)/I_\gamma(86^\circ)=0.53$ 15 (1994Le08).
372	4589.3	19 <sup>-</sup>	4217.3	17 <sup>-</sup>				Mult.: $I_\gamma(158^\circ)/I_\gamma(86^\circ)=0.57$ 14 (1994Le08) for doublet.
372	10038	(34 <sup>+</sup> )	9666	(33 <sup>+</sup> )				Mult.: $I_\gamma(158^\circ)/I_\gamma(86^\circ)=0.57$ 14 (1994Le08) for doublet.
386	8226	28 <sup>-</sup>	7840					
391.9&	7435	(26 <sup>+</sup> )	7043	(25 <sup>+</sup> )	(M1)	0.1752	5.1	
394	7273.6	25 <sup>(-)</sup>	6880	23 <sup>(-)</sup>				
395	2903.2	10 <sup>+</sup>	2507.9	10 <sup>+</sup>				
404	4130.6	16 <sup>+</sup>	3726.3	14 <sup>+</sup>	(E2)	0.0462		Mult.: $I_\gamma(158^\circ)/I_\gamma(86^\circ)=1.74$ 20 (1994Le08).
405	8226	28 <sup>-</sup>	7821	27 <sup>-</sup>	D			Mult.: $I_\gamma(158^\circ)/I_\gamma(86^\circ)=0.72$ 18 (1994Le08).
405.9&	6709	(24 <sup>+</sup> )	6303	(22 <sup>+</sup> )	(E2)	0.0456	3.6	Mult.: $I_\gamma(158^\circ)/I_\gamma(86^\circ)=1.8$ 4 (1994Le08).
409	2633.1	10 <sup>-</sup>	2224.1	9 <sup>-</sup>	D			Mult.: $I_\gamma(158^\circ)/I_\gamma(86^\circ)=0.82$ 24 (1994Le08).
409.1&	8713	(29 <sup>+</sup> )	8303	(28 <sup>+</sup> )	(M1)	0.1562	2.8	Mult.: $I_\gamma(158^\circ)/I_\gamma(86^\circ)=0.82$ 24 (1994Le08) for 409 $\gamma$ +410 $\gamma$ doublet.
410 <sup>b</sup>	7928	28 <sup>(-)</sup>	7517	26 <sup>(-)</sup>				Mult.: $I_\gamma(158^\circ)/I_\gamma(86^\circ)=0.82$ 24 (1994Le08) for 409 $\gamma$ and/or 410 $\gamma$ .
413	7686		7273.6	25 <sup>(-)</sup>				
414.6&	9376	(32 <sup>+</sup> )	8961	(30 <sup>+</sup> )	[E2]	0.0431	1.0	

Continued on next page (footnotes at end of table)

$^{160}\text{Gd}(^{36}\text{S},4n\gamma)$  **1996Wi09,1995Le33,1994Le08 (continued)**

$\gamma(^{192}\text{Hg})$  (continued)

$E_\gamma$ †	$E_i$ (level)	$J_i^\pi$	$E_f$	$J_f^\pi$	Mult. #	$\alpha^a$	$I_{(\gamma+ce)}^\ddagger$	Comments
416	2633.1	10 <sup>-</sup>	2216.8	8 <sup>-</sup>				
416	2951.5	14 <sup>+</sup>	2535.8	12 <sup>+</sup>				
422.9&	422.9	2 <sup>+</sup>	0	0 <sup>+</sup>	(E2)	0.0410	100	Mult.: $I_\gamma(158^\circ)/I_\gamma(86^\circ)=1.63$ 15 (1994Le08).
446	3895.6	14 <sup>-</sup>	3450.0	13 <sup>-</sup>	D			Mult.: $I_\gamma(158^\circ)/I_\gamma(86^\circ)=0.42$ 15 (1994Le08).
447	8991	31 <sup>(-)</sup>	8544	30 <sup>(-)</sup>	(M1)	0.1234		Mult.: $I_\gamma(158^\circ)/I_\gamma(86^\circ)=0.42$ 15 (1994Le08).
454	9445	32 <sup>(-)</sup>	8991	31 <sup>(-)</sup>	(M1)	0.1184		Mult.: $I_\gamma(158^\circ)/I_\gamma(86^\circ)=0.43$ 14 (1994Le08).
461	4130.6	16 <sup>+</sup>	3670.1	14 <sup>+</sup>	Q			Mult.: $I_\gamma(158^\circ)/I_\gamma(86^\circ)=1.80$ 23 (1994Le08).
470	2447.5	8 <sup>+</sup>	1977.4	7 <sup>-</sup>				
470	9666	(33 <sup>+</sup> )	9196	(31 <sup>+</sup> )				
472	5788	22 <sup>+</sup>	5316.6	20 <sup>+</sup>	(E2)	0.0310		Mult.: $I_\gamma(158^\circ)/I_\gamma(86^\circ)=1.47$ 19 (1994Le08).
476	8265	29 <sup>(-)</sup>	7789.0	27 <sup>(-)</sup>	(E2)	0.0304		Mult.: $I_\gamma(158^\circ)/I_\gamma(86^\circ)=2.1$ 4 (1994Le08).
481	7517	26 <sup>(-)</sup>	7036	24 <sup>(-)</sup>	(E2)	0.0296		Mult.: $I_\gamma(158^\circ)/I_\gamma(86^\circ)=2.0$ 3 (1994Le08).
483.2&	9196	(31 <sup>+</sup> )	8713	(29 <sup>+</sup> )	(E2)	0.0293	1.4	Mult.: $I_\gamma(158^\circ)/I_\gamma(86^\circ)=1.3$ 3 (1994Le08).
490	9934	33 <sup>(-)</sup>	9445	32 <sup>(-)</sup>	(M1)	0.0967		Mult.: $I_\gamma(158^\circ)/I_\gamma(86^\circ)=0.43$ 15 (1994Le08).
502	5022.4	19 <sup>-</sup>	4520.4	17 <sup>-</sup>	(E2)	0.0267		Mult.: $I_\gamma(158^\circ)/I_\gamma(86^\circ)=1.37$ 19 (1994Le08).
505	3262.3	12 <sup>-</sup>	2757.1	11 <sup>-</sup>				
512	3047.5	12 <sup>+</sup>	2535.8	12 <sup>+</sup>				
515	7789.0	27 <sup>(-)</sup>	7273.6	25 <sup>(-)</sup>				
522	4130.6	16 <sup>+</sup>	3608.6	16 <sup>+</sup>	[E2]	0.0243		Mult.: $I_\gamma(158^\circ)/I_\gamma(86^\circ)=1.57$ 25 (1994Le08) for doublet.
522	5544.5	21 <sup>-</sup>	5022.4	19 <sup>-</sup>	[E2]	0.0243		Mult.: $I_\gamma(158^\circ)/I_\gamma(86^\circ)=1.57$ 25 (1994Le08) for doublet.
524.4&	7959	(27 <sup>+</sup> )	7435	(26 <sup>+</sup> )	(M1)	0.0809	6.5	Mult.: $I_\gamma(158^\circ)/I_\gamma(86^\circ)=0.57$ 17 (1994Le08).
532 <sup>b</sup>	10466	34 <sup>(-)</sup>	9934	33 <sup>(-)</sup>				
533	2757.1	11 <sup>-</sup>	2224.1	9 <sup>-</sup>	(E2)	0.0231		Mult.: $I_\gamma(158^\circ)/I_\gamma(86^\circ)=1.54$ 20 (1994Le08).
540	3047.5	12 <sup>+</sup>	2507.9	10 <sup>+</sup>	Q			Mult.: $I_\gamma(158^\circ)/I_\gamma(86^\circ)=1.61$ 20 (1994Le08).
561	4011.3	15 <sup>-</sup>	3450.0	13 <sup>-</sup>				
563	4951.5	20 <sup>-</sup>	4388.4	18 <sup>-</sup>				
570	5701	22 <sup>+</sup>	5131	20 <sup>+</sup>	(E2)	0.0198		Mult.: $I_\gamma(158^\circ)/I_\gamma(86^\circ)=1.72$ 21 (1994Le08).
575	5316.6	20 <sup>+</sup>	4741.4	18 <sup>+</sup>				
582	6126.6	23 <sup>-</sup>	5544.5	21 <sup>-</sup>	(E2)	0.0188		Mult.: $I_\gamma(158^\circ)/I_\gamma(86^\circ)=1.41$ 24 (1994Le08).
593	5544.5	21 <sup>-</sup>	4951.5	20 <sup>-</sup>				
611	4741.4	18 <sup>+</sup>	4130.6	16 <sup>+</sup>				Mult.: $I_\gamma(158^\circ)/I_\gamma(86^\circ)=1.75$ 22 (1994Le08) for doublet.
611.0&	7043	(25 <sup>+</sup> )	6433	(23 <sup>+</sup> )	(E2)	0.01688	26.1	Mult.: $I_\gamma(158^\circ)/I_\gamma(86^\circ)=1.75$ 22 (1994Le08) for doublet.
616	8544	30 <sup>(-)</sup>	7928	28 <sup>(-)</sup>	(E2)	0.01657		Mult.: $I_\gamma(158^\circ)/I_\gamma(86^\circ)=1.9$ 3 (1994Le08).
623	3670.1	14 <sup>+</sup>	3047.5	12 <sup>+</sup>	(E2)	0.01616		Mult.: $I_\gamma(158^\circ)/I_\gamma(86^\circ)=1.77$ 21 (1994Le08).
628	5217.0	21 <sup>-</sup>	4589.3	19 <sup>-</sup>				
629	3262.3	12 <sup>-</sup>	2633.1	10 <sup>-</sup>				
633	3895.6	14 <sup>-</sup>	3262.3	12 <sup>-</sup>				
635	1057.9	4 <sup>+</sup>	422.9	2 <sup>+</sup>				
640	6428	24 <sup>+</sup>	5788	22 <sup>+</sup>				Mult.: $I_\gamma(158^\circ)/I_\gamma(86^\circ)=1.37$ 19 (1994Le08) for 640 $\gamma$ and/or 644 $\gamma$ .
644	2447.5	8 <sup>+</sup>	1803.6	6 <sup>+</sup>				Mult.: $I_\gamma(158^\circ)/I_\gamma(86^\circ)=1.37$ 19 (1994Le08) for 640 $\gamma$ and/or 644 $\gamma$ .
657	3608.6	16 <sup>+</sup>	2951.5	14 <sup>+</sup>				Mult.: $I_\gamma(158^\circ)/I_\gamma(86^\circ)=1.9$ 4 (1994Le08) for 657 $\gamma$ and/or 659.2 $\gamma$ .
659.2&	8961	(30 <sup>+</sup> )	8303	(28 <sup>+</sup> )	[E2]	0.01426	4.8	Mult.: $I_\gamma(158^\circ)/I_\gamma(86^\circ)=1.9$ 4 (1994Le08) for 657 $\gamma$ and/or 659.2 $\gamma$ .
679	3726.3	14 <sup>+</sup>	3047.5	12 <sup>+</sup>	(E2)	0.01337		Mult.: $I_\gamma(158^\circ)/I_\gamma(86^\circ)=1.47$ 20 (1994Le08).
693	3450.0	13 <sup>-</sup>	2757.1	11 <sup>-</sup>				
705	5656.8	22 <sup>-</sup>	4951.5	20 <sup>-</sup>				Mult.: $I_\gamma(158^\circ)/I_\gamma(86^\circ)=2.1$ 4 (1994Le08) for 705 $\gamma$ and/or 708 $\gamma$ .

Continued on next page (footnotes at end of table)

<sup>160</sup>Gd(<sup>36</sup>S,4n $\gamma$ ) **1996Wi09,1995Le33,1994Le08 (continued)**

$\gamma(^{192}\text{Hg})$  (continued)

$E_\gamma$ †	$E_i$ (level)	$J_i^\pi$	$E_f$	$J_f^\pi$	Mult. #	$a^a$	$I_{(\gamma+ce)}^\ddagger$	Comments
708	8226	28 <sup>-</sup>	7517	26 <sup>(-)</sup>				Mult.: $I_\gamma(158^\circ)/I_\gamma(86^\circ)=2.1$ 4 (1994Le08) for 705 $\gamma$ and/or 708 $\gamma$ .
716	6303	(22 <sup>+</sup> )	5587	(20 <sup>+</sup> )				
719	3670.1	14 <sup>+</sup>	2951.5	14 <sup>+</sup>				
723	3985.3	14 <sup>-</sup>	3262.3	12 <sup>-</sup>	(E2)	0.01169		Mult.: $I_\gamma(158^\circ)/I_\gamma(86^\circ)=1.77$ 23 (1994Le08).
725.3&	7435	(26 <sup>+</sup> )	6709	(24 <sup>+</sup> )	[E2]	0.01161	4.9	Mult.: $I_\gamma(158^\circ)/I_\gamma(86^\circ)=1.68$ 17 (1994Le08) for 725 $\gamma$ and/or 727 $\gamma$ .
727	6428	24 <sup>+</sup>	5701	22 <sup>+</sup>				
727	8991	31 <sup>(-)</sup>	8265	29 <sup>(-)</sup>				Mult.: $I_\gamma(158^\circ)/I_\gamma(86^\circ)=1.68$ 17 (1994Le08) for 725 $\gamma$ and/or 727 $\gamma$ .
741	5131	20 <sup>+</sup>	4389.8	18 <sup>+</sup>	Q			Mult.: $I_\gamma(158^\circ)/I_\gamma(86^\circ)=1.56$ 21 (1994Le08).
746	1803.6	6 <sup>+</sup>	1057.9	4 <sup>+</sup>	(E2)	0.01094		Mult.: $I_\gamma(158^\circ)/I_\gamma(86^\circ)=1.63$ 14 (1994Le08).
753.7&	8713	(29 <sup>+</sup> )	7959	(27 <sup>+</sup> )	(E2)	0.01070	1.6	Mult.: $I_\gamma(158^\circ)/I_\gamma(86^\circ)=1.96$ 24 or 1.89 23 (1994Le08); two data points are shown At this energy In fig. 1 but only one transition is known.
781	4389.8	18 <sup>+</sup>	3608.6	16 <sup>+</sup>				
781	8961	(30 <sup>+</sup> )	8181	(28 <sup>+</sup> )				
782	6439	24 <sup>-</sup>	5656.8	22 <sup>-</sup>				
786	1844.2	5 <sup>-</sup>	1057.9	4 <sup>+</sup>	D			Mult.: $I_\gamma(158^\circ)/I_\gamma(86^\circ)=0.73$ 9 (1994Le08).
796	6013.0	23 <sup>-</sup>	5217.0	21 <sup>-</sup>				
*823@								
823	6950	25 <sup>-</sup>	6126.6	23 <sup>-</sup>	(E2)			Mult.: $I_\gamma(158^\circ)/I_\gamma(86^\circ)=1.89$ 16 (1994Le08).
830	7269	26 <sup>-</sup>	6439	24 <sup>-</sup>	(E2)			Mult.: $I_\gamma(158^\circ)/I_\gamma(86^\circ)=1.61$ 16 (1994Le08).
841	6113	(22 <sup>+</sup> )	5272	20 <sup>+</sup>	(E2)			Mult.: $I_\gamma(158^\circ)/I_\gamma(86^\circ)=1.93$ 24 (1994Le08).
844	6857	25 <sup>-</sup>	6013.0	23 <sup>-</sup>	(E2)			Mult.: $I_\gamma(158^\circ)/I_\gamma(86^\circ)=1.84$ 22 (1994Le08).
846	5587	(20 <sup>+</sup> )	4741.4	18 <sup>+</sup>	Q			Mult.: $I_\gamma(158^\circ)/I_\gamma(86^\circ)=1.57$ 17 (1994Le08).
867	7724	27 <sup>-</sup>	6857	25 <sup>-</sup>				Mult.: $I_\gamma(158^\circ)/I_\gamma(86^\circ)=1.61$ 16 (1994Le08) for 867 $\gamma$ doublet.
867.6&	8303	(28 <sup>+</sup> )	7435	(26 <sup>+</sup> )	[E2]		5.0	Mult.: $I_\gamma(158^\circ)/I_\gamma(86^\circ)=1.61$ 16 (1994Le08) for doublet.
870	7821	27 <sup>-</sup>	6950	25 <sup>-</sup>	(E2)			Mult.: $I_\gamma(158^\circ)/I_\gamma(86^\circ)=1.80$ 15 (1994Le08).
882	5272	20 <sup>+</sup>	4389.8	18 <sup>+</sup>	(E2)			Mult.: $I_\gamma(158^\circ)/I_\gamma(86^\circ)=1.73$ 21 (1994Le08).
889	7840		6950	25 <sup>-</sup>	Q			Mult.: $I_\gamma(158^\circ)/I_\gamma(86^\circ)=1.85$ 23 (1994Le08).
892	7320	26 <sup>+</sup>	6428	24 <sup>+</sup>	(E2)			Mult.: $I_\gamma(158^\circ)/I_\gamma(86^\circ)=1.62$ 16 (1994Le08).
900	9445	32 <sup>(-)</sup>	8544	30 <sup>(-)</sup>	(E2)			Mult.: $I_\gamma(158^\circ)/I_\gamma(86^\circ)=1.6$ 3 (1994Le08).
909	8633	29 <sup>-</sup>	7724	27 <sup>-</sup>				Mult.: $I_\gamma(158^\circ)/I_\gamma(86^\circ)=1.9$ 3 (1994Le08) for 909 $\gamma$ and/or 910 $\gamma$ .
910	6126.6	23 <sup>-</sup>	5217.0	21 <sup>-</sup>	(E2)			Mult.: $I_\gamma(158^\circ)/I_\gamma(86^\circ)=1.9$ 3 (1994Le08) for 909 $\gamma$ and/or 910 $\gamma$ .
915.6&	7959	(27 <sup>+</sup> )	7043	(25 <sup>+</sup> )	(E2)		3.6	Mult.: $I_\gamma(158^\circ)/I_\gamma(86^\circ)=1.93$ 23 (1994Le08).
927	8196	28 <sup>-</sup>	7269	26 <sup>-</sup>	(E2)			Mult.: $I_\gamma(158^\circ)/I_\gamma(86^\circ)=1.83$ 23 (1994Le08).
933	7789.0	27 <sup>(-)</sup>	6857	25 <sup>-</sup>	Q			Mult.: $I_\gamma(158^\circ)/I_\gamma(86^\circ)=1.9$ 3 (1994Le08).
940	8209	28 <sup>-</sup>	7269	26 <sup>-</sup>	Q			Mult.: $I_\gamma(158^\circ)/I_\gamma(86^\circ)=1.9$ 3 (1994Le08).
942	9934	33 <sup>(-)</sup>	8991	31 <sup>(-)</sup>	(E2)			Mult.: $I_\gamma(158^\circ)/I_\gamma(86^\circ)=1.48$ 27 (1994Le08).
955	5544.5	21 <sup>-</sup>	4589.3	19 <sup>-</sup>				
962	6234	22 <sup>+</sup>	5272	20 <sup>+</sup>	(Q)			Mult.: $I_\gamma(158^\circ)/I_\gamma(86^\circ)=1.2$ 3 (1994Le08).
971	8695	29 <sup>-</sup>	7724	27 <sup>-</sup>	(Q)			Mult.: $I_\gamma(158^\circ)/I_\gamma(86^\circ)=1.2$ 3 (1994Le08).
978	6295	(22 <sup>+</sup> )	5316.6	20 <sup>+</sup>	(E2)			Mult.: $I_\gamma(158^\circ)/I_\gamma(86^\circ)=2.1$ 3 (1994Le08).
982	6113	(22 <sup>+</sup> )	5131	20 <sup>+</sup>	Q			Mult.: $I_\gamma(158^\circ)/I_\gamma(86^\circ)=1.3$ 3 (1994Le08).
987	6303	(22 <sup>+</sup> )	5316.6	20 <sup>+</sup>	Q			Mult.: $I_\gamma(158^\circ)/I_\gamma(86^\circ)=1.71$ 25 (1994Le08).
1011	8331	28 <sup>+</sup>	7320	26 <sup>+</sup>	(E2)			Mult.: $I_\gamma(158^\circ)/I_\gamma(86^\circ)=1.3$ 3 (1994Le08).
1021	10466	34 <sup>(-)</sup>	9445	32 <sup>(-)</sup>	(E2)			Mult.: $I_\gamma(158^\circ)/I_\gamma(86^\circ)=1.33$ 23 (1994Le08).
1060	4011.3	15 <sup>-</sup>	2951.5	14 <sup>+</sup>				

Continued on next page (footnotes at end of table)

$^{160}\text{Gd}(^{36}\text{S},4n\gamma)$  1996Wi09,1995Le33,1994Le08 (continued) $\gamma(^{192}\text{Hg})$  (continued)

$E_\gamma$ †	$E_i(\text{level})$	$J_i^\pi$	$E_f$	$J_f^\pi$	Mult. #	Comments
1134	3670.1	14 <sup>+</sup>	2535.8	12 <sup>+</sup>	Q	Mult.: $I_\gamma(158^\circ)/I_\gamma(86^\circ)=1.55$ 20 (1994Le08).
1148	7273.6	25 <sup>(-)</sup>	6126.6	23 <sup>-</sup>		
1179	4130.6	16 <sup>+</sup>	2951.5	14 <sup>+</sup>	Q	Mult.: $I_\gamma(158^\circ)/I_\gamma(86^\circ)=1.5$ 3 (1994Le08).
1190	3726.3	14 <sup>+</sup>	2535.8	12 <sup>+</sup>	Q	Mult.: $I_\gamma(158^\circ)/I_\gamma(86^\circ)=1.3$ 4 (1994Le08).
1247	7686		6439	24 <sup>-</sup>	Q	Mult.: $I_\gamma(158^\circ)/I_\gamma(86^\circ)=1.52$ 25 (1994Le08).
1260	7273.6	25 <sup>(-)</sup>	6013.0	23 <sup>-</sup>	(E2)	Mult.: $I_\gamma(158^\circ)/I_\gamma(86^\circ)=1.8$ 3 (1994Le08).

† From 1995Le33, except as noted.  $E_\gamma$  from 1994Le08 differs by at most 1 keV. Neither 1995Le33 nor 1994Le08 state uncertainties.

‡ Intensity from 1996Wi09 relative to  $\text{Ti}(422.9)=100$ ; authors do not state uncertainties.

# From  $I_\gamma(158^\circ)/I_\gamma(86^\circ)$  read by evaluator from fig. 1 of 1994Le08, assigning  $\Delta\pi=(\text{No})$  for intraband transitions, except As noted. expected values are 1.63 for stretched Q and 0.70 for pure  $\Delta J=1$  transitions near  $J=30$ .

@ From 1994Le08; uncertainty unstated by authors.

& From 1996Wi09; authors do not state uncertainty.

<sup>a</sup> Total theoretical internal conversion coefficients, calculated using the BrIcc code (2008Ki07) with Frozen orbital approximation based on  $\gamma$ -ray energies, assigned multipolarities, and mixing ratios, unless otherwise specified.

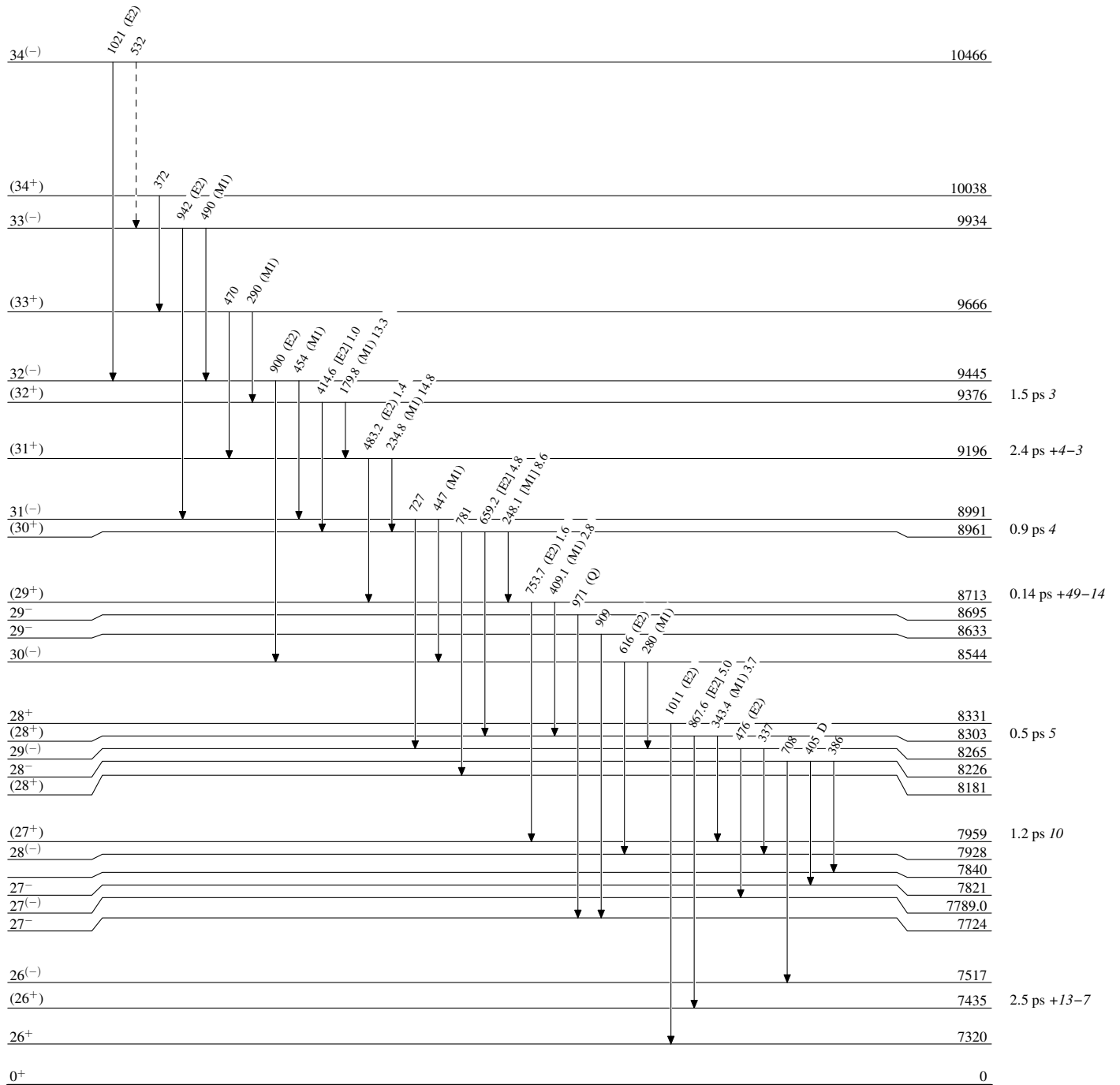
<sup>b</sup> Placement of transition in the level scheme is uncertain.

<sup>x</sup>  $\gamma$  ray not placed in level scheme.

$^{160}\text{Gd}(^{36}\text{S},4n\gamma)$  1996Wi09,1995Le33,1994Le08

Legend

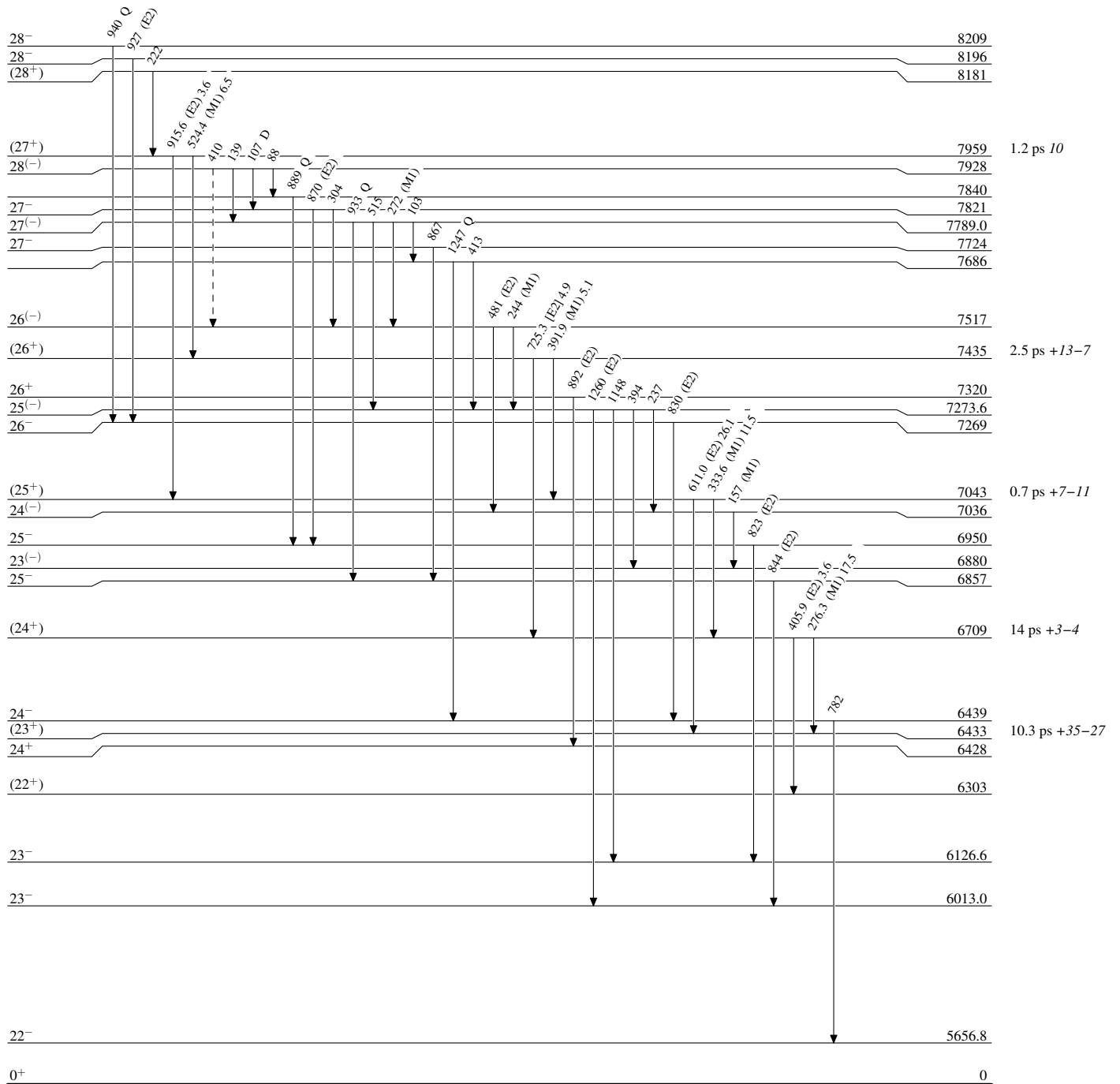
## Level Scheme

----->  $\gamma$  Decay (Uncertain) $^{192}\text{Hg}_{112}$

$^{160}\text{Gd}(^{36}\text{S},4n\gamma)$  1996Wi09,1995Le33,1994Le08

Legend

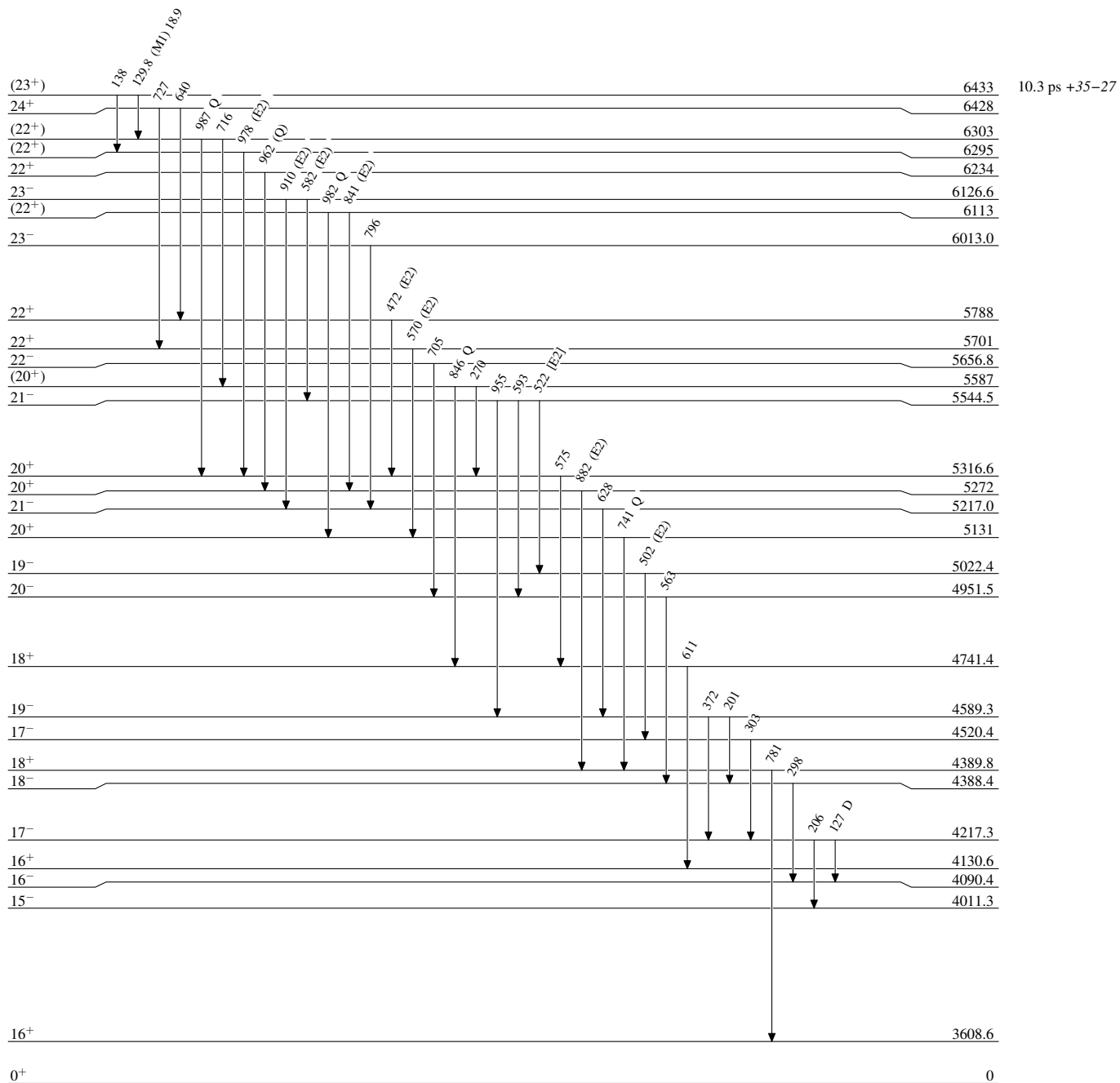
## Level Scheme (continued)

-----►  $\gamma$  Decay (Uncertain) $^{192}_{80}\text{Hg}_{112}$



$^{160}\text{Gd}(^{36}\text{S},4n\gamma)$  1996Wi09,1995Le33,1994Le08

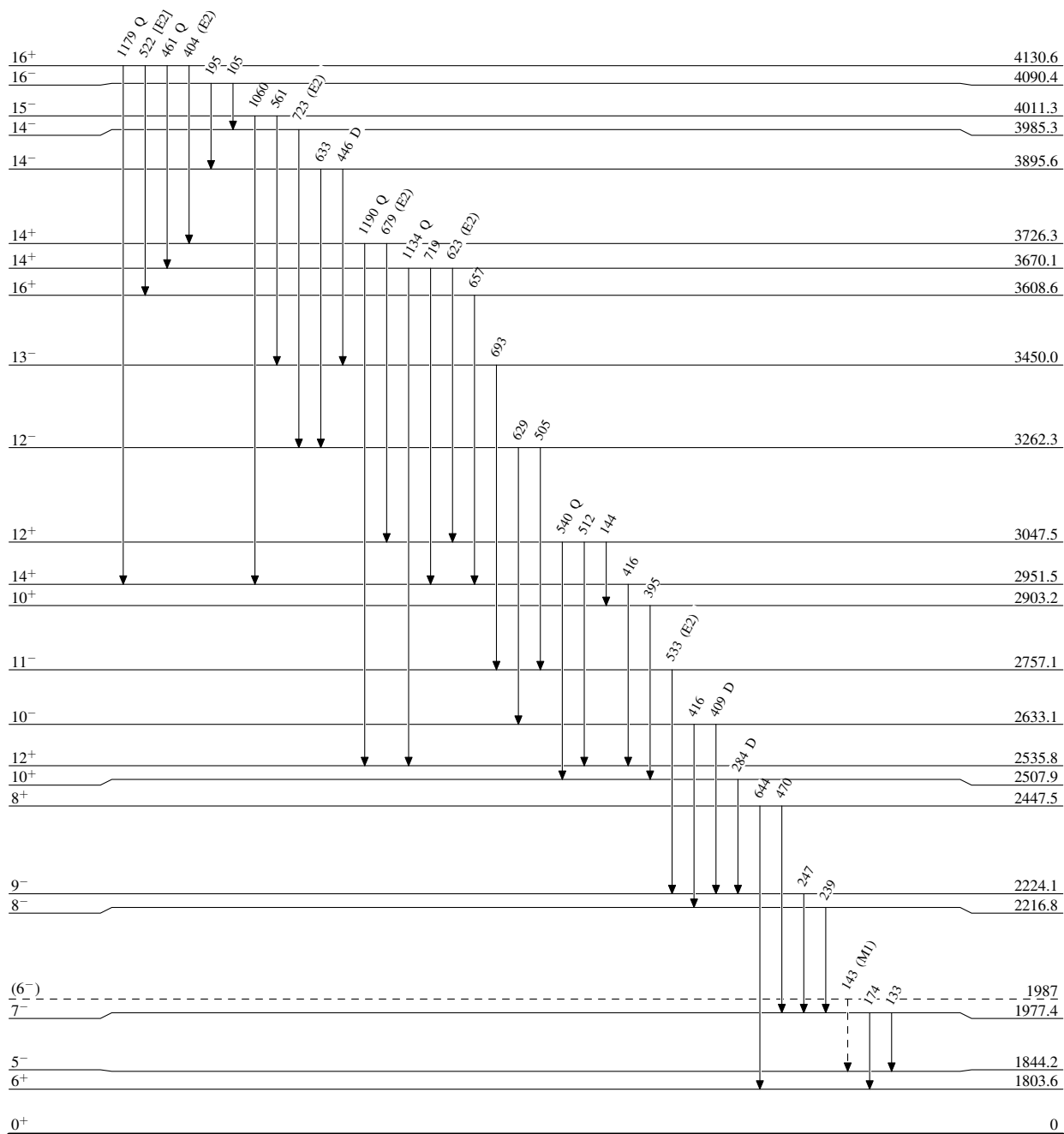
## Level Scheme (continued)

 $^{192}_{80}\text{Hg}_{112}$

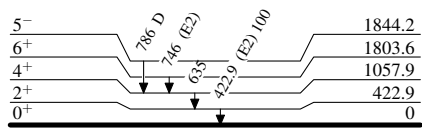
$^{160}\text{Gd}(^{36}\text{S},4n\gamma)$  1996Wi09,1995Le33,1994Le08

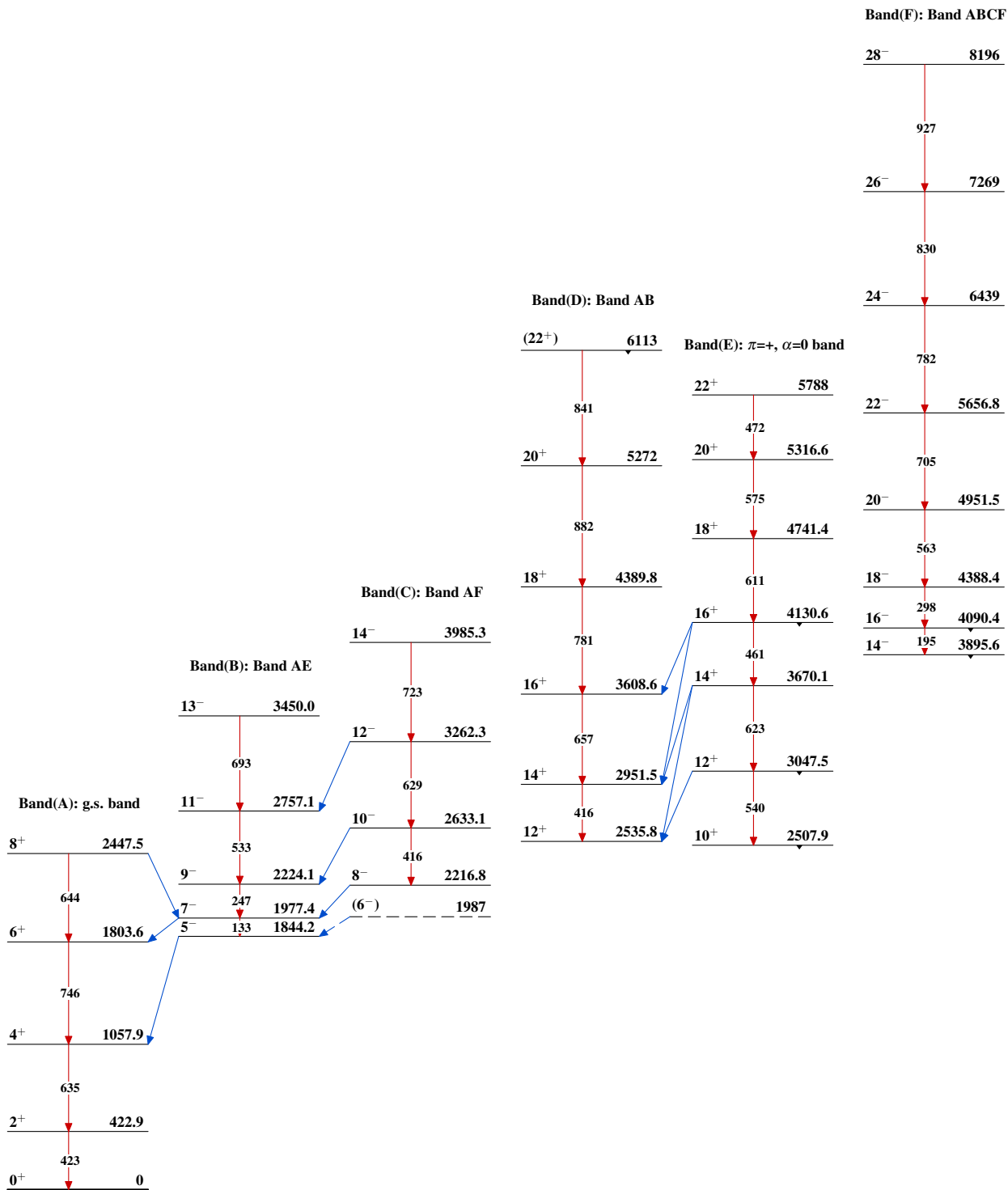
Legend

## Level Scheme (continued)

-----▶  $\gamma$  Decay (Uncertain) $^{192}\text{Hg}_{112}$

---

 $^{160}\text{Gd}(^{36}\text{S},4n\gamma)$  1996Wi09,1995Le33,1994Le08Level Scheme (continued) $^{192}_{80}\text{Hg}_{112}$

$^{160}\text{Gd}(^{36}\text{S},4n\gamma)$  1996Wi09,1995Le33,1994Le08 $^{192}_{80}\text{Hg}_{112}$

$^{160}\text{Gd}(^{36}\text{S},4n\gamma)$  1996Wi09,1995Le33,1994Le08 (continued)